

اثر عنصر مس و سرعت انجاماد بر خواص مکانیکی آلیاژهای Al-Si-Cu-Mg

محمدعلی صفرخانیان (کارشناس ارشد)

سیدمorteضی سیدریحانی (دانشیار)

ناصر ورهام (دانشیار)

دانشکده‌ی مهندسی و علم مواد، دانشگاه صنعتی شریف

آلیاژهای ریختگی Al-Si-Cu-Mg به دلیل برخورداری از خواص مناسب فیزیکی و مکانیکی، کاربرد وسیعی در صنایع گوناگون مانند صنایع نظامی، خودروسازی و هواپضا دارد. عناصر آلیاژی و سرعت انجاماد از جمله پارامترهای کنترل‌کننده‌ی ریزساختار، و نتیجه‌ی مؤثر بر خواص مکانیکی این آلیاژها هستند. هدف از انجام این پژوهش، بررسی اثر عنصر مس در محدوده ۱-۲٪ /۰.۵ درصد وزنی بر خواص مکانیکی آلیاژ $Mg_{4.4}Al_{7.7}Si_{0.2}$ در سرعت‌های مختلف انجاماد است. برای دست‌یابی به هدف فوق یک نمونه طراحی شده با ضخامت‌های مختلف ۱، ۲، ۳، ۴ از cm ۵ از جنس آلیاژ $Mg_{4.4}Al_{7.7}Si_{0.2}$ با درصدهای مختلف ۱٪ /۰.۵، ۰٪ /۰.۳، ۰٪ /۰.۱ در قالب ماسه‌یی Co_2 ریخته‌گری و سپس خواص مکانیکی و ریزساختار مورد بررسی واقع شدند. نتایج به دست آمده حاکی از آن است که افزایش مقدار مس در آلیاژ $Mg_{4.4}Al_{7.7}Si_{0.2}$ دو تأثیر متضاد بر خواص مکانیکی دارد. اثر مثبت افزایش مقدار مس در این آلیاژ مستحکم شدن زمینه بر اثر تشکیل رسوبات حاوی مس، و اثر منفی آن کاهش استحکام آلیاژ در اثر افزایش مک و تخلخل است. این دو اثر سبب می‌شود که استحکام آلیاژ حاوی ۱٪ /۰ مس، در سرعت‌های بالای انجاماد، بیشینه شود.

فلزی نام برد.^[۱] بسته به سرعت انجاماد و حضور Sr ، فاز Al_2Cu به شکل بلوکهایی یا به صورت کلثیهای یوتکتیک $Al + Al_2Cu$ یا در هر دو شکل، به طور همزمان در ریزساختار مشاهده می‌شود.^[۶] توزیع و ریختشناصی فازهای ثانویه و همجنین اندازه، مقدار و توزیع مک‌های گازی بستگی به سرعت انجاماد دارد. هر چه سرعت انجاماد بالاتر باشد، استحکام نهایی (UTS)، استحکام تسلیم و درصد ازدیاد طول نسبی افزایش می‌یابد.^[۱۲-۹] در این تحقیق سعی شده است همراه با تغییر سرعت انجاماد در اثر تغییر مدول ریختگی یک نمونه طراحی شده، نقش عنصر مس در محدوده ۱-۲٪ /۰.۵ بر خواص مکانیکی آلیاژ $Mg_{4.4}Al_{7.7}Si_{0.2}$ بررسی شود.

روش تحقیق

یک مدل چوبی با ضخامت‌های مختلف در محدوده ۱-۵ cm به هدف تغییر سرعت سرد شدن طراحی شد. برای تعذیه‌رسانی کامل، کم‌ترین ضخامت در پایین و بیشترین ضخامت همراه با تقذیب در بالای قطعه در نظر گرفته شد. بدین ترتیب پس از پر شدن قالب توسط مذاب، هر یک از ضخامت‌ها توسط ضخامت بزرگ‌تر تقذیب شده و تعذیه رسانی بزرگ‌ترین ضخامت بهوسیله تعذیه‌ی طراحی شده، انجام

مقدمه

آلیاژهای ریختگی Al-Si-Cu-Mg به عنوان مهم‌ترین گروه آلیاژهای ریختگی Al-Si به دلیل خواص ریخته‌گری خوب، جوش‌پذیری مناسب، نشت‌پذیری و مقاومت مناسب در برابر خوردگی کاربردهای فراوانی در صنایع هواپضا و خودروسازی دارند. خواص مکانیکی این آلیاژها مستقیماً وابسته به ریزساختار است. عوامل مؤثر بر ریزساختار و یا خواص مکانیکی آلیاژهای ریختگی آلومینیم عبارت‌اند از:^[۱-۳] ترکیب شیمیایی و کیفیت مذاب، فرایند ریخته‌گری و کیفیت قطعه‌ی ریختگی، و عملیات حرارتی.

عنصر مس بعد از سیلیسیم مهم‌ترین عنصر آلیاژی در آلیاژهای ریختگی آلومینیم است. افزودن مس به آلومینیم در مقادیر کم، باعث افزایش استحکام در دمای بالا، سختی، استحکام خستگی و بهبود قابلیت ماشین‌کاری می‌شود. اما افزودن مس بالاتر از ۱۲٪ به آلومینیم سبب می‌شود که آلیاژ به دست آمده بسیار شکننده شود.^[۴-۷] مهم‌ترین فاز حاوی عنصر مس، در آلیاژهای آلومینیم، فاز Al_2Cu است که یک ساختار شبکه‌ی تترگونال دارد. با حضور عناصر سیلیسیم و منیزیم در آلیاژهای آلومینیم شامل مس، ترکیبات پیچیده‌یی حاوی عناصر آلومینیم، مس، سیلیسیم و منیزیم تشکیل می‌شود. مثلاً می‌توان از تشکیل فاز $Al_5Mg_8Cu_2Si$ با ساختار هگزاگونال و به صورت یک ترکیب بین

شده‌اند. پس از تهیه‌ی مذاب هر یک از چهار آلیاز مذکور، ریختنگری در قالب‌های ماسه‌بی از قبل تهیه شده انجام گرفت و برای هر یک از نمونه‌ها از ضخامت‌های ۱، ۲، ۳، ۴ و ۵ سانتی‌متر دو آزمایش کشش از مرکز ضخامت‌ها به صورت افقی و طبق استاندارد ASTM-B557 تهیه شد. تمام ۴۰ نمونه آزمایش کشش، توسط دستگاه آزمون کشش، ساخت شرکت Instron (مدل ۸۵۰۲) تهیه شدند، به طوری که نرخ کرنش ۵mm/min در نظر گرفته شد. پس از آزمایش کشش برای هریک از نمونه‌ها مقادیر استحکام تسلیم، استحکام نهایی، و درصد انعطاف‌پذیری به دست آمد.

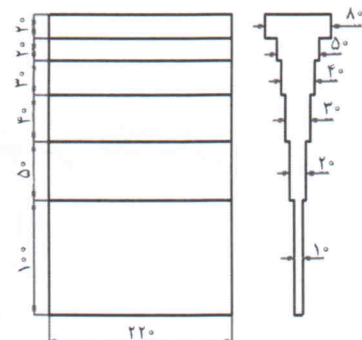
قطع نمونه‌های آزمایش کشش پس از شکسته شدن توسط میکروسکوپ الکترونی (SEM) ساخت شرکت ISI-ABT مدل SR50 برسی، و در صورت لزوم عکس‌برداری از سطوح شکست نیز انجام شد.

نتایج

شکل ۲ تغییرات سختی نمونه‌ها را برای افزایش مقدار مس در ضخامت‌های مورد مطالعه نشان می‌دهد. همان‌طور که مشاهده می‌شود، سختی نمونه‌ها در تمام ضخامت‌ها، با افزایش مقدار مس، افزوده می‌شود. شکل ۳ نشان‌دهنده‌ی تغییرات سختی برای تغییر ضخامت است. چنان‌که در این شکل مشاهده می‌شود سختی نمونه‌ها برای افزایش ضخامت، کاهش جزئی می‌یابد.

شکل ۴ تغییرات استحکام تسلیم نمونه‌ها را برای تغییر مقدار مس در ضخامت‌های مختلف ۱، ۲، ۳، ۴ و ۵ سانتی‌متر نشان می‌دهد. همان‌طور که در شکل نشان داده شده، استحکام تسلیم نمونه‌ها در ضخامت ۱ سانتی‌متر برای افزایش مقدار مس افزوده شده و آلیاژی که حاوی ۱/۵٪ مس است در سه ضخامت ۲، ۳ و ۴ سانتی‌متر بیشترین مقدار استحکام تسلیم را دارد. در ضخامت ۵ سانتی‌متر آلیاژی بیشترین مقدار استحکام تسلیم را دارد که حاوی ۷٪ مس است. نکته‌ی دیگری که در این شکل مشاهده می‌شود، بر اثر افزایش ضخامت، کاهش استحکام تسلیم است.

شکل ۵ اثر عنصر مس بر استحکام نهایی آلیاژهای مورد بررسی



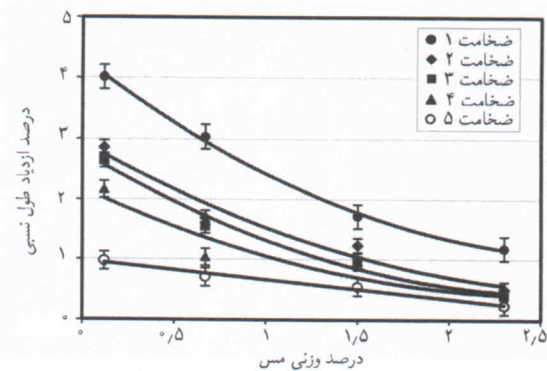
شکل ۱. شماتیک از مدل طراحی شده (اعداد بر حسب میلی‌متر است).

شد. در شکل ۱ شماتیک از مدل طراحی شده همراه با تعذیه نشان داده شده است. مدل طراحی شده شامل پنج ضخامت، ۱، ۲، ۳، ۴ و ۵ سانتی‌متر است. سیستم راهگاهی این مدل نیز مطابق تحقیقات انجام شده توسط کمبل [۱۲] طراحی شد. با استفاده از مدل تهیه شده، قالب‌گیری توسط ماسه‌ی سیلیسیمی و چسب سیلیکات سدیم، و به روش دمش گاز CO₂ انجام شد.

شمیس آلیاژ ۴Mg - ۷Si - Al به مقدار ۸ کیلوگرم در کوره‌ی مقاومتی قرار گرفت. کوره برای رسیدن به دمای ۷۲۰ ± ۵°C تنظیم شد. قبل از رسیدن به این دما و شروع ذوب برای کنترل اتمسفر کوره و جلوگیری از واکنش‌های مضر، محیط کوره تحت گاز آرگون قرار گرفت. سپس مقدار مس مورد نیاز برای تهیه‌ی آلیاژ مورد نظر به مذاب افزوده و برای انحلال کامل مس در مذاب، شرایط کوره به مدت ۱۵ دقیقه حفظ شد. پس از آن عملیات گاززدایی به صورت دمش گاز آرگون به داخل مذاب، با دبی ۱ Lit/min، و به مدت ۱۰ دقیقه، انجام شد. پس از اتمام گاززدایی، ریخته‌گری در قالب ماسه‌بی انجام شد. مراحل فوق، چهار مرتبه و به هدف تهیه‌ی چهار آلیاژ مورد نظر تکرار شد. آنالیز شیمیایی چهار آلیاژ تهیه شده در جدول ۱ آمده است. قابل ذکر است که منظور از چهار آلیاژ مورد بررسی، آلیاژهای Al - x/Cu - ۷, ۱, ۲, ۳٪ می‌باشد. در این تحقیق، این چهار آلیاژ به ترتیب با علاوه ۱, ۲, ۳٪ Cu و ۱, ۵, ۷٪ Cu نشان داده

جدول ۱. ترکیب شیمیایی آلیاژهای تهیه شده.

Base	ترکیب شیمیایی (%Wt)											نوع آلیاژ
	Ti	Sn	Zn	Ni	Mn	Fe	Mg	Cu	Si			
۹۱,۶۳۳	۰,۰۱۹	۰,۰۰۰	۰,۰۳۳	۰,۰۰۳	۰,۰۶۷	۰,۳۷۱	۰,۳۹۰	۰,۱	۷,۳۹۰			٪۰,۱Cu
۹۱,۴۶۹	۰,۰۲۰	۰,۰۰۴	۰,۰۲۲	۰,۰۰۴	۰,۰۶۲	۰,۳۵۵	۰,۳۳۸	۰,۷	۷,۳۰۳			٪۰,۷Cu
۹۰,۵۰۸	۰,۰۱۸	۰,۰۰۰۱	۰,۰۰۶	۰,۰۰۳	۰,۰۵۶	۰,۲۲۳	۰,۳۵۶	۱,۵	۷,۲۷۷			٪۱,۵Cu
۸۹,۵۴۶	۰,۰۱۸	۰,۰۰۴	۰,۰۰۵	۰,۰۰۲	۰,۰۵۴	۰,۳۲۱	۰,۳۰۱	۲,۳	۷,۳۷۴			٪۲,۳Cu



شکل ۶. تغییرات درصد افزایش طول نسبی، بر اثر افزایش مقدار مس.

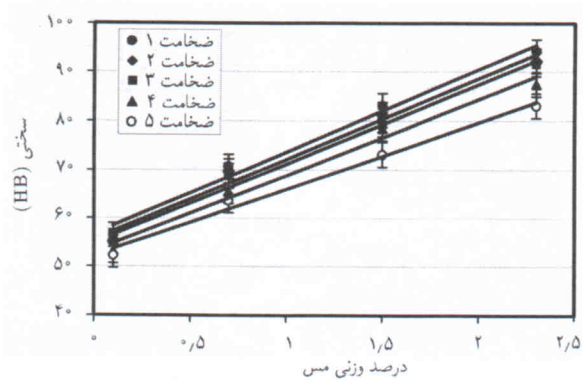
را نشان می‌دهد، همان‌طور که مشاهده می‌شود استحکام نهایی آلیاژ حاوی $1/5\%$ مس در ضخامت‌های ۱، ۲، ۳، و 4 سانتی‌متر بیشینه شده است اما با افزایش مقدار مس، استحکام نهایی در ضخامت 5 سانتی‌متر روند نزولی دارد. همچنین مشاهده می‌شود که استحکام نهایی در هر یک از آلیاژها بر اثر افزایش ضخامت کاهش می‌یابد.

شکل ۶ نشان‌دهنده‌ی تغییرات درصد ازدیاد طول نسبی، بر اثر افزایش مس است. چنان که مشاهده می‌شود، درصد افزایش طول نسبی در تمام ضخامت‌ها بر اثر افزایش مقدار مس کاهش یافته است. همین شکل نشان‌دهنده‌ی کاهش درصد ازدیاد طول نسبی چهار آلیاژ بر اثر افزایش ضخامت است.

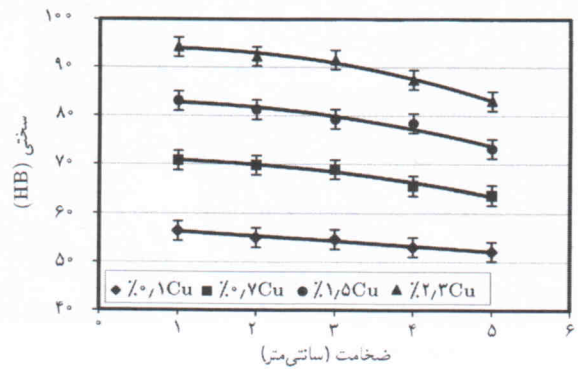
در شکل ۷ سطوح شکست نمونه‌های ریختگی دو آلیاژ حاوی $1/0\%$ مس و $1/5\%$ مس مربوط به دو ضخامت 1 و 5 سانتی‌متر که توسط میکروسکوپ الکترونی به دست آمده رسم شده است. در دو تصویر 7 الف و 7 ب، مسیر انتشار ترک در دو آلیاژ مذکور و در ضخامت 1 سانتی‌متر مشخص شده است. همان‌طور که مشاهده می‌شود شکست از نوع رشتی است، که مشخصه‌ی شکست نرم است. دو تصویر 7 ج و 7 د، مربوط به سطح شکست دو آلیاژ مذکور در ضخامت 5 سانتی‌متر است. در این تصاویر دو نکته مشاهده می‌شود: اول حضور صفوک کشیده، مربوط به شکست فاز سیلیسیم و عدم حضور دیمپل‌ها؛ دوم حضور یک سری مناطق تخت که به‌وسیله‌ی بردار مشخص شده‌اند و مربوط به شکست فازهای حاوی آهن، هستند. براساس تحلیل (EDX) یکی از این مناطق که در شکل 8 آمده است، حضور فاز آهن در این مناطق قطعی است.

بحث و بررسی

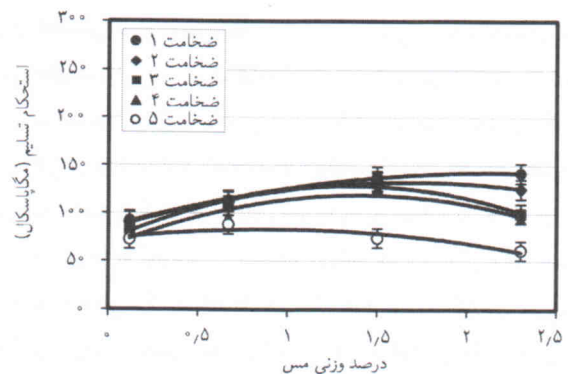
نتایج بدست آمده در این تحقیق نشان می‌دهد که سختی نمونه‌ها در تمام ضخامت‌های مورد بررسی بر اثر افزایش مقدار مس در آلیاژ اولیه، روند افزایشی دارد، و آلیاژ حاوی $1/5\%$ مس در سرعت‌های بالای



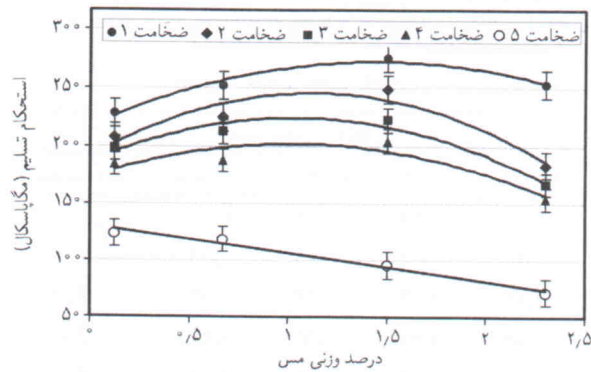
شکل ۲. تغییرات سختی نمونه‌ها بر اثر افزایش مقدار مس.



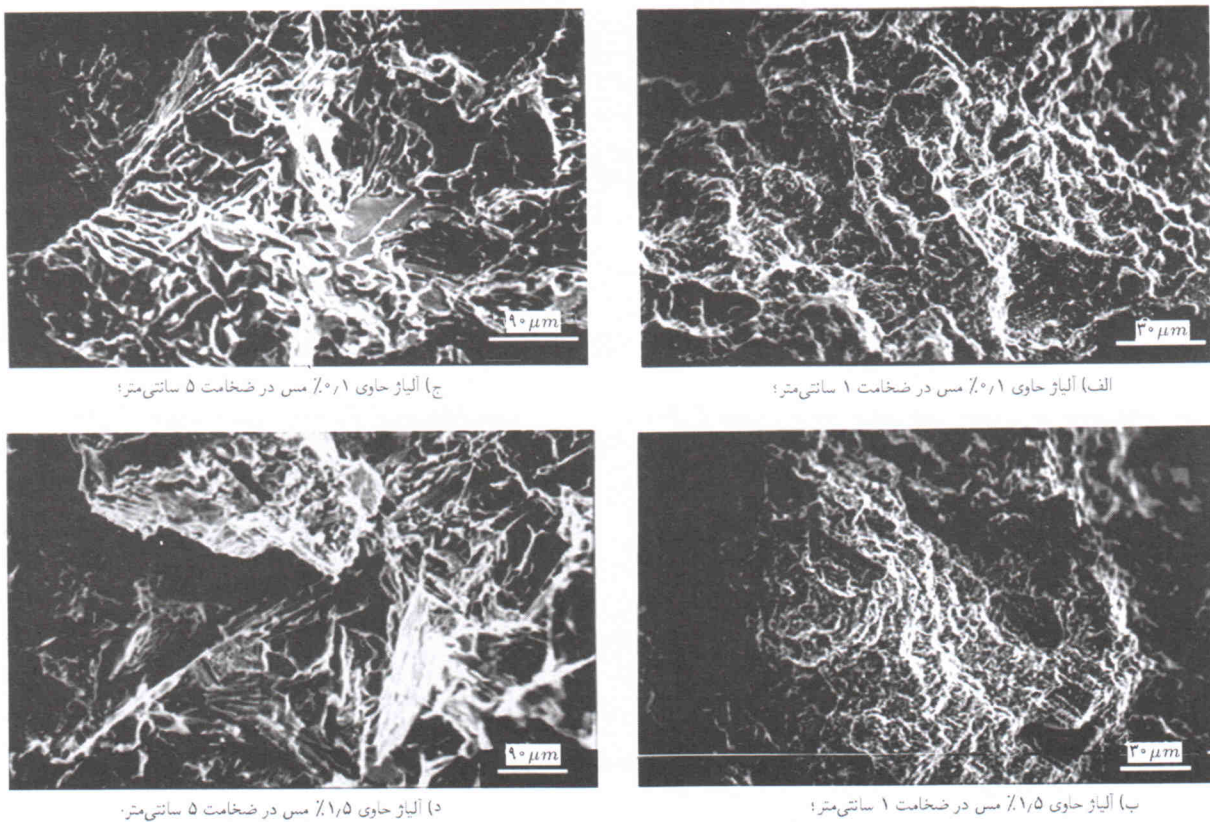
شکل ۳. تغییرات سختی بر اثر تغییر ضخامت.



شکل ۴. تغییرات استحکام تسلیم، بر اثر افزایش مقدار مس.

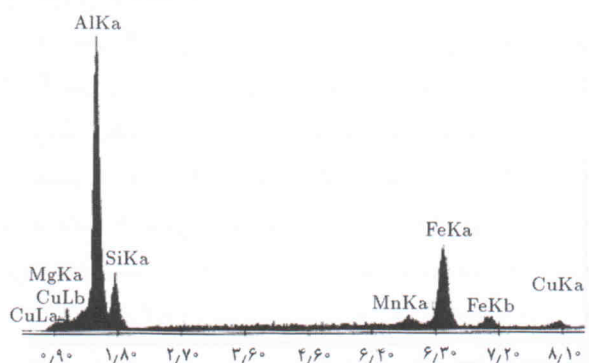


شکل ۵. تغییرات استحکام نهایی، بر اثر افزایش مقدار مس.



شکل ۷. تصویرهای SEM از سطوح شکست در شرایط مختلف.

برای اطمینان کامل از این مطلب درصد حجمی مک و تخلخل تمام نمونه‌های مورد بررسی با استفاده از قانون ارشمیدس اندازه‌گیری شد. در جدول ۲ نتایج حاصل از اندازه‌گیری درصد حجمی مک و تخلخل در نمونه‌ها ارائه شده است. شکل ۱۰ نشان‌دهنده تغییرات درصد حجمی مک برای افزایش مس در پنج ضخامت مورد بررسی است. با توجه به این شکل، مشاهده می‌شود که با افزایش مقدار مس، درصد حجمی مک و تخلخل در تمام ضخامت‌ها افزایش می‌یابد. افزایش درصد حجمی مک و تخلخل در اثر افزایش مقدار مس در آلیاژهای Al-Si-Mg توسط محققین دیگر نیز گزارش شده است.^[۱۵ و ۱۶] با توجه به تحقیقات محققین مختلف در رابطه با چگونگی افزایش مقدار



شکل ۸. تحلیل مربوط به مناطق مشخص شده در شکل ۷ ج.

جدول ۲. درصد حجمی تخلخل.

درصد حجمی تخلخل					
% ۲/۳Cu	% ۱/۵Cu	% ۰/۷Cu	% ۰/۱Cu	ضخامت (cm)	
۱,۳۴	۰,۹۶	۰,۷۹	۰,۶۰	۱	
۱,۴۱	۱,۰۶	۰,۸۱	۰,۷۷	۲	
۱,۶۳	۱,۲۲	۱,۱۴	۰,۸۴	۳	
۱,۸۶	۱,۶۶	۱,۵۴	۱,۳۳	۴	
۲,۰۴	۲,۹۳	۱,۸۴	۲,۵۸	۵	

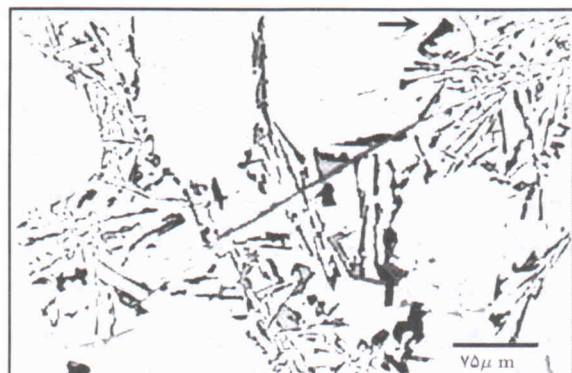
انجماد دارای بیشترین استحکام تسیلیم و نهایی است. علت این پدیده را باید در بررسی ریزساختار نمونه‌ها جست و جوکرد. بهمین دلیل از هر پنج ضخامت مربوط به چهار آلیاژ مورد بررسی نمونه‌های متالوگرافی تهیه شد و ریزساختار نمونه‌ها مورد بررسی قرار گرفت. در شکل ۹ افزایش مقدار و اندازه فازهای حاوی مس (کلنجها و بلوكهای تیره) برای افزایش مقدار مس از ۷٪ به ۱۵٪ مشاهده می‌شود. نکته‌ی دیگری که در بررسی ریزساختار نمونه‌ها مشاهده شد این بود که با افزایش مقدار مس در آلیاژ اولیه، مقدار مک و تخلخل افزایش می‌یابد.

بهبود خواص مکانیکی می‌شود، و دیگر اثر منفی که باعث تضعیف خواص مکانیکی می‌شود؛ این دو اثر به طور کامل در زیر توضیح داده شده است:

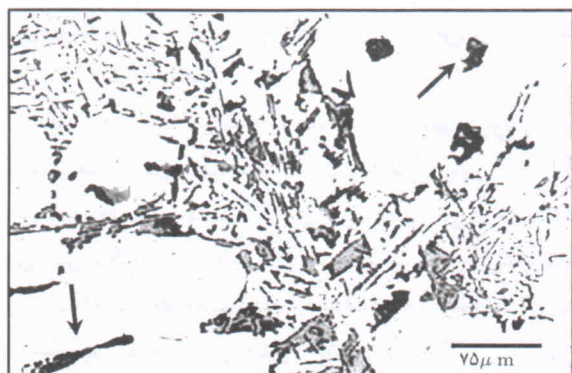
الف) در اثر افزایش مس در آلیاژ Al-Si-Cu-Mg (شکل ۹) فازهای حاوی مس در فضای بین دندربیت‌ها تشکیل می‌شوند. این فازها به عنوان موانعی در برابر حرکت نابهجهای هاستند و موجب افزایش استحکام آلیاژ می‌شوند. با توجه به شکل ۲ مشاهده می‌شود که سختی، براثر افزایش مس روندی افزایشی دارد. از آنجا که حد حلالیت مس در آلیاژهای آلمینیوم در دمای محیط ۱٪ است، آنچه موجب افزایش سختی آلیاژها شده است، استحکام‌دهی فازهای بین دندربیتی حاوی مس است. از آنجا که درآزمایش سختی‌سنگی، تغییر فرم خمیری در منطقه‌ی محدودی رخ می‌دهد، عووب ریختگی از قبیل مک و تخلخل در آزمایش سختی‌سنگی بدون تأثیرند.

ب) با افزایش مس در آلیاژ Al-Si-Cu-Mg، مقدار مک و تخلخل در آلیاژ افزایش می‌یابد. در شکل ۱۰ چگونگی این افزایش نشان داده شد است. حضور مک باعث ایجاد تمرکز تنش می‌شود، بنابراین در اثر افزودن مس به آلیاژ مذکور، مناطق تمرکز تنش افزایش می‌یابد، به طوری که خواص مکانیکی درآزمایش کشش تضعیف می‌شود.

در شکل ۴ نشان داده شد که به دلیل اثر مثبت مس، ناشی از حضور فازهای حاوی مس، استحکام تسليم نمونه‌های ریختگی در ضخامت ۱ سانتی‌متر بر اثر افزایش مقدار مس افزایش یافته است، اما در سه ضخامت ۳، ۲ و ۴ سانتی‌متر، آلیاژ حاوی ۱/۵٪ مس بیشترین استحکام تسليم را دارد که علت این تغییرات، غلبه‌ی اثر منفی حضور مس بر اثر مثبت آن در آلیاژ حاوی ۲/۳٪ مس و کاهش استحکام تسليم، آن است. در ضخامت ۵ سانتی‌متر اثر منفی حضور مس سریع‌تر بر اثر مثبت آن غلبه کرده است، به طوری که آلیاژ حاوی ۷٪ مس



(الف) ٪ ۷Cu



(ب) ٪ ۱.۵Cu

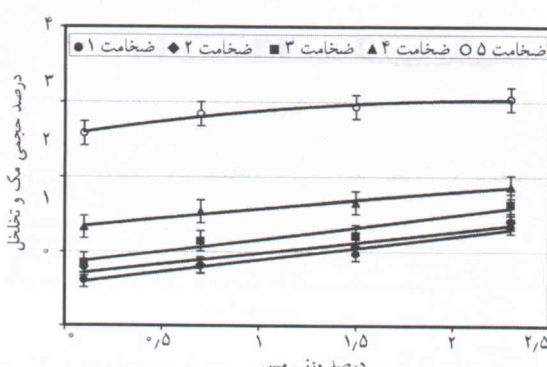
شکل ۹. فازهای حاوی مس در ضخامت ۴ سانتی‌متر برای دو آلیاژ ٪ ۷Cu و ٪ ۱.۵Cu

مک و تخلخل در اثر افزودن مس به آلیاژهای Al-Si، سازوکارهایی که توجیه‌کننده‌ی این پدیده هستند عبارت‌اند از: سازوکار واکنش سه‌تایی؛ سازوکار فشار‌گاز هیدروژن.

حضور مس در آلیاژ Al-Si، باعث تشکیل یوتکنیک سه‌تایی $L \rightarrow Al + Al_2Cu + Si$ حالی است که تشکیل شبکه‌ی دندربیتی در دمای ۶۱۰°C و واکنش یوتکنیک دو تایی در دمای ۵۷۰°C اتفاق می‌افتد. بنابراین واکنش یوتکنیک سه‌تایی فوق احتمالاً زمانی اتفاق می‌افتد که حجم زیادی از مذاب اولیه، منجمد شده است.^[۱۴]

در طی مراحل اولیه انجام‌دادن آلیاژ Al-Si-Cu زمانی که دندربیت‌های تشکیل می‌شوند، عنصر مس در مذاب باقی مانده، پس زده می‌شود. این روند تا پس از تشکیل یوتکنیک دو تایی Al-Si ادامه می‌یابد، به طوری که مقدار مس در مذاب باقی مانده تا حدود ۲۷٪ افزایش می‌یابد. در اثر افزایش مس در مذاب آلمینیوم با یک مقدار مشخص گاز حل شده، فشار‌گاز هیدروژن افزایش می‌یابد.^[۱۵]

بنابراین می‌توان گفت که افزایش مقدار مس در آلیاژ Al-Si دو اثر متضاد بر خواص مکانیکی این آلیاژ دارد: یکی اثر مثبت که سبب



شکل ۱۰. تغییرات درصد حجمی تخلخل بر اثر افزایش مقدار مس.

بدلیل کاهش سرعت انجماد و نزدیکی به تغذیه شدیداً افزایش یافته است، استحکام نهایی در این ضخامت برای افزایش مس روند کاهشی دارد؛ به عبارت دیگر اثر مثبت حضور مس در این ضخامت ناچیز است.

با افزایش ضخامت نمونه های ریختگی دو پدیده مشاهده می شود: اول آن که طول صفحات فاز آهن بزرگ شده و تیغه های ریز سیلیسیم تبدیل به تیغه های درشت شده اند (شکل ۱۱)؛ و دوم آن که درصد حجمی مک افزایش یافته است. هر دو پدیده در کاهش خواص مکانیکی مؤثرند زیرا هردو باعث افزایش مناطق مرکز تنش می شوند، به طوری که سختی، استحکام نهایی و درصد از دید طول نسبی همان طور که در شکل های ۴، ۳، ۵ و ۶ مشاهده می شود با افزایش ضخامت کاهش یافته اند.

با توجه به شکل ۷ شکست در ضخامت های پائین از نوع رشتہ بی است، که مشخصه شکست نرم است، و حضور دیمپل ها در سطح شکست و بالا بودن درصد افزایش طول نسبی در ضخامت های پائین دلیل دیگری برای شکست نرم در ضخامت های پائین است. در ضخامت های بالا اولاً به دلیل حضور صفوک کشیده مربوط به شکست فاز سیلیسیم و دوماً به دلیل حضور یکسری مناطق تخت، مربوط به شکست فازهای حاوی آهن، شکست ترد در ضخامت های بالا تأیید می شود. نکته می دیگری که در شکل ۷ مشاهده می شود آن است که با افزایش مقدار مس، دیمپل ها ریزتر می شوند که نشان دهنده افزایش تردی است و دلیل آن افزایش مقدار مک و تخلخل و فازهای حاوی مس است که هر دو سبب تمرکز تنش می شوند.

نتیجه گیری

نتایجی که از این تحقیق بدست آمد عبارت اند از:

۱. با افزایش مقدار مس در آلیاژ های Al-Si-Cu-Mg اندازه و مقدار مک های گازی و انقباضی افزایش می یابد.

۲. افزایش مقدار عنصر مس در آلیاژ های Al-Si-Cu-Mg دو اثر متضاد بر خواص استحکامی دارد: کاهش استحکام به دلیل افزایش درصد مک و تخلخل؛ افزایش استحکام به دلیل افزایش فازهای حاوی مس در ریزساختار.

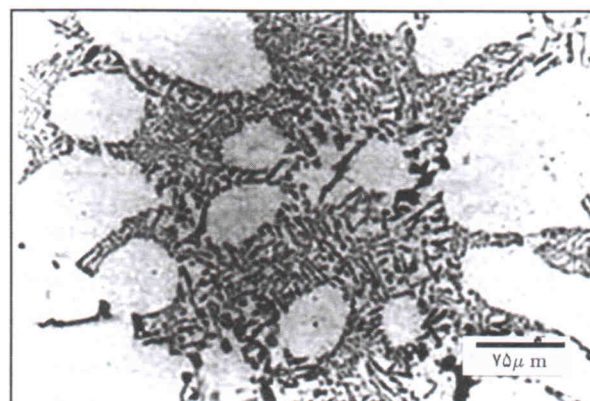
۳. استحکام آلیاژ حاوی $1/5\%$ مس در سرعت های بالای انجماد بیشینه است.

۴. با افزایش مقدار مس در آلیاژ های Al-Si-Cu-Mg درصد افزایش طول نسبی شکست کاهش می یابد.

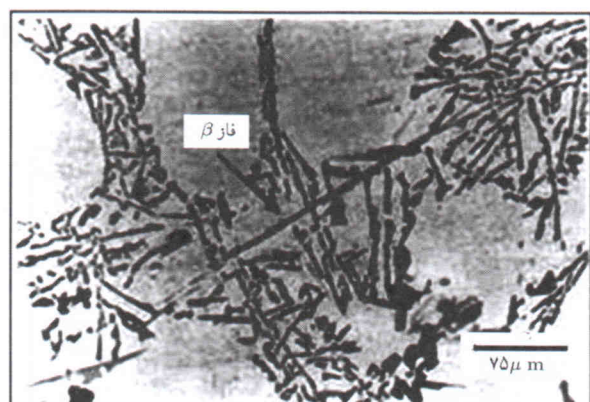
۵. با افزایش سرعت انجماد، اندازه و مقدار مک ها کاهش می یابد و شکست از حالت ترد به شکست نرم تبدیل می شود.

دارای بیشترین مقدار استحکام تسلیم است، که دلیل آن تأثیر سرعت انجماد بر اثرگذاری عنصر مس است؛ بدین معنی که اثر منفی مس بر اثر کاهش سرعت انجماد شدیدتر می شود، زیرا که دندریت ها درشت تر شده و حجم حوضچه های مذاب به دام افتاده افزایش می یابد.

از آنجا که در آزمایش کشش، استحکام نهایی نسبت به استحکام تسلیم در تنش های بالاتر اتفاق می افتد، اثر منفی حضور مس در آلیاژ، (ناشی از افزایش مک و تخلخل به عنوان مناطق مرکز تنش در آلیاژ) بر استحکام نهایی شدیدتر خواهد شد. علاوه بر این مک می تواند به عنوان ترک عمل کرده و شکست آلیاژ را آسان سازد. در شکل ۵ مشاهده می شود که استحکام نهایی آلیاژ حاوی $2/3\%$ مس نسبت به آلیاژ حاوی $1/5\%$ مس در ضخامت های ۱، ۲، ۳ و ۴ سانتی متر کاهش یافته است، و این نشان دهنده غلبه ای اثر منفی حضور مس ناشی از افزایش مک، بر اثر مثبت آن ناشی از حضور فازهای حاوی مس، است. این امر قبل از نقطه $1/5\%$ مس اتفاق نیفتاده است. از آنجا که مقدار مک در هر چهار آلیاژ در ضخامت ۵ سانتی متر



(الف) ۱ سانتی متر؛



(ب) ۴ سانتی متر

شکل ۱۱. ریخت شناسی فازهای سیلیسیم و آهن در آلیاژ حاوی $7Cu/5Al$ برای دو ضخامت ۱ و ۴ سانتی متر.

منابع

1. Barresi, J., Kerr, M.J., Wang, H., Couper, M.J., "Effect of Magnesium, iron and Cooling Rate on Mechanical Properties of Al - 7Si -Mg Foundry Alloys", *AFS Trans.* **117**, pp. 563-570 (2000).
2. Paray, F., Gruzleski, J.E., "Microstructure – Mechanical Property Relationships in a 356 Alloy. Part I: Microstructure", *Cast Metals*, **7**, (1), pp.29-40 (1994).
3. Paray, F., Gruzleski, J.E., "Microstructure – Mechanical Property Relationships in a 356 Alloy. Part II: Mechanical Properties", *Cast Metals*, **7**, (3) pp.153-163 (1994).
4. ASM. Hand Book of Aluminum, 1988.
5. Shivkumar, S., Wang, L., Apelian D., Molten Metal Processing of Advanced Cast Aluminum alloys, *JOM*., pp. 27-32 (1991).
6. Roy, N., Samuel, A.M., Samuel, F.H., "Porosity Formation in Al - 9 Wt Pct Si - Wt Pct Cu Alloy Systems: observation", *Metallu. and Mat. Trans.*, **27A**, pp.415-429 (1996).
7. Gowri, S., Samuel, S.F., "Effect of Alloying Elements on the Solidification and Microstructure of Al-Si-Cu-Mg-Fe 380 Alloy" *Metallu. and Mat. Trans.*, **25A**, pp.437-448 (1994).
8. Backerud, L., Chai, G., Tamminen, J., "Solidification Characeristics of Aluminum alloys", **2**, *Foundry Alloys Desplains AFS* (1990).
9. Hetke, A., Gundlach, R.B., "Aluminum Casting Quality in Alloy 356 Engine Components", *AFS. Trans.*, **137**, pp. 367-380 (1994).
10. Gundlach, R.B., Rose, B., Hetke, A., Valtierra, S., Mojica, J.F., "Thermal Fatigue Res-istance of Hypoeutectic Aluminum-Silicon Alloys", *AFS. Trans.*, **141**, pp. 205-211 (1994).
11. Parabhu, K.N., Kumar, S.A., Vencatrmam, N., "Effect of Coating /Mold Wall/ Casting Thick-ness on Heat Transfer and Solidification of Al-Cu-Si Alloy (LM-21) in Cast iron molds", *AFS. Trans.*, **109**, pp. 827-832 (1994).
12. Bian, X., Zhang, Z., Liu, X., "Effects of Stron-tium Modification on Hydrogen Content and Porosity Shape Al- Si", *Mater. Scien. Forum*, **Alloys 331-337**, pp. 361-366 (2000).
13. Campbell, J., "Casting", Butter Worth-Heinman Ltd (1993).
14. Edwardsds, G.A., Sigworth, G.K., Caceres, C.H., John, D.H.St., Barresi, J., "Microporosity For-mation in Al-Cu-Si-Mg Casting Alloys", *AFS. Trans.*, **59**, pp. 809-818 (1997).
15. Caceres, C.H., Djurdjevic, M.B., T.J. Stock-well, T.J., Sokolowski, J.H., "Teh Effect of Cu Content on the Level of Microporosity in Al- Si-Cu-Mg Casting Alloys", *Scripta Materialia*. **40** (5), pp.631-637 (1999).

